

TiCN系セラミック工具と超硬合金工具によるGFRPの切削

泊 誠
山下宣良

1. はじめに

機器のプラスチック化による性能／価格の向上効果はきわめて大きく、また金型等による成形が容易なため意匠設計や機能設計の自由度が大幅に向かう。このため機器部品のプラスチック化がますます強化しつつある。

樹脂にガラス繊維等の繊維を複合すれば強度が増すため構造材料の面で用途が拡大している。しかしこれらの複合材料を切削する場合公表されたデータが見当らないのが実情である。

このため本研究ではTiCN系セラミック工具と超硬合金を用いてGFRP（ガラス繊維強化熱硬化性樹脂）を旋削し、工具寿命について検討した。

2. 実験方法

実験は有段旋盤（三菱重工業（株）HL-300 U型）によりGFRPを端面切削した。

(1) GFRP

ガラス含有率65～70%，ビニールエステル系樹脂、55～60°クロス巻のGFRPで外径60mm、内径30mm、長さ100mmの円筒状のGFRPである。

写真1にGFRPの断面を示す。

(2) 使用工具

TiCN系セラミック工具と超硬合金K10の2種である。ノーズ半径はいずれも0.8mmであるが、TiCN系セラミック工具には幅0.07～0.1mm、角度15～28°のチャンファーがついている。

なおホルダーにより旋盤に取付けたときの工

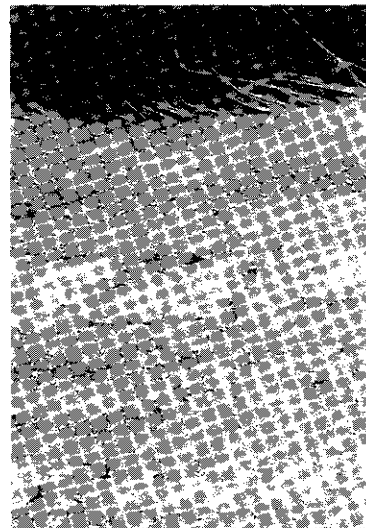


写真1 GFRPの断面 ($\times 12.5$)

具諸元は(-6°, -5°, 6°, 5°, 15°, 15°, 0.8 mm)で工具の突出し長さは25mmである。

(3) 切削条件

乾式端面切削で、切削速度はGFRPの肉厚の中点位置での速度とした。

切削条件を表1に示す。工具摩耗はノーズ部

表1 切削条件

	TiCN系セラミック工具	超硬合金工具K10
切込み mm	0.5	0.5
送り mm/rev	0.15	0.15
切削速度 m/min	86 120 170	120 170

乾式切削

のみに発生するので、ノーズを正面から見たと

きの摩耗を測定しこれを逃げ面摩耗とした。工具寿命は逃げ面摩耗の平均摩耗が 0.2mm に達したときとした。

3. 結果と考察

GFRP はガラスの長纖維を樹脂中に含有させたものである。従ってこれを切削する場合硬いガラス部と軟らかい樹脂部を交互に切削する一種の断続切削と考えることができる。またガラス纖維をクロス巻きして作られるこの実験で用いたような GFRP は、その内部に大きさの不均一な多数の空孔があり、断続切削を助長するとも考えうる。

ガラス纖維は非常に硬くもろいものであるが、切削後の断面には細いガラス纖維が多数分布し、これが一種の砥粒として工具の逃げ面に作用することになる。このことが工具摩耗を促進すると考えられ、しかもガラス含有率が高い程ガラス纖維が砥粒として作用する傾向は高まる。

工具切刃エッジに対しても砥粒として作用すると考えられ、金属切削時の工具エッジが非常にシャープであるのに対し、GFRP 切削では工具エッジは丸みをもつようになる。

(1) 工具の摩耗経過

図 1 に TiCN 系セラミック工具の摩耗経過、図 2 に超硬合金工具 K 10 の摩耗経過を示す。

TiCN 系セラミック工具の摩耗は、切削速度 $V = 86 \text{ m/min}$ においては均一摩耗を示すが、 $V = 120, 170 \text{ m/min}$ の場合は中高の山形の摩耗を示した。 $V = 170 \text{ m/min}$ ではわずか 1 分の切削で大きく摩耗した。この工具は欠損しやすく、しかも短寿命である。

超硬合金工具 K 10 は $V = 120 \text{ m/min}$ のとき均一摩耗を示すが、 $V = 170, 240 \text{ m/min}$ では TiCN 系セラミック工具と同様、中高の山形の摩耗形状となる。工具寿命は TiCN 系のセ

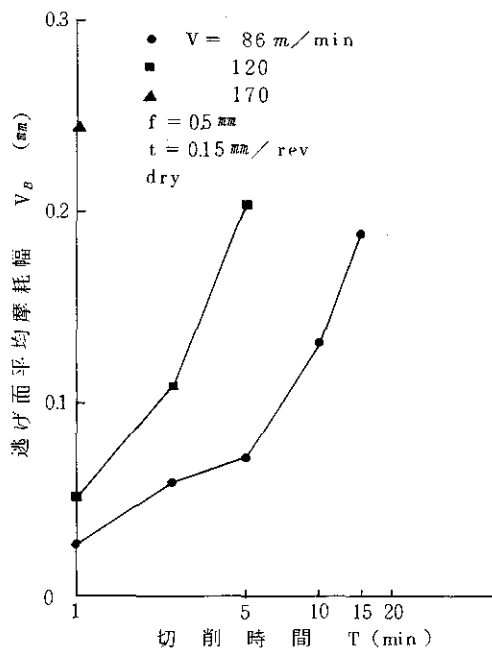


図 1 TiCN 系セラミック工具の摩耗経過

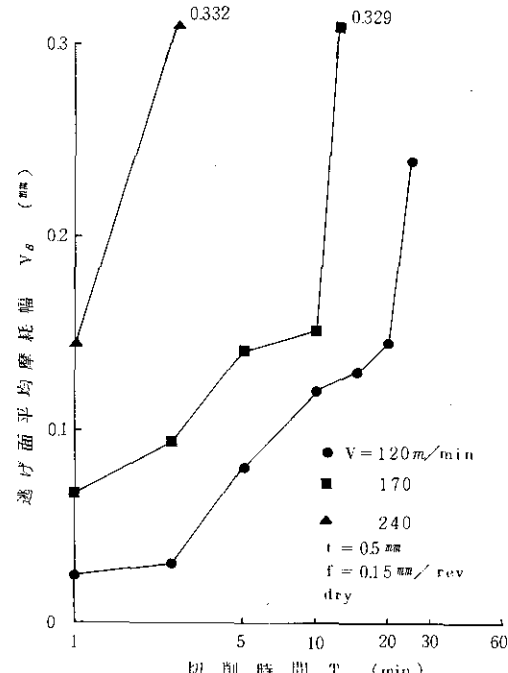


図 2 超硬合金工具 K 10 の摩耗経過
(GFRP)

セラミック工具より長い。

TiCN 系セラミック工具と超硬合金工具 K 10

に共通する切削速度 $V = 170 \text{ m/min}$ の場合に両者を比較すると、TiCN系セラミック工具が1分切削時で $V_B = 0.2 \text{ mm}$ に達するのに対し超硬合金工具K10は12.5分切削時に $V_B = 0.2 \text{ mm}$ となっており、超硬合金工具K10が相当に長寿命である。

図1・2においてTiCN系セラミック工具と超硬合金工具K10の摩耗経過を比較すると、前者は $V_B = 0.2 \text{ mm}$ 付近まで安定した摩耗経過を示すが、後者は $V_B = 1.5 \text{ mm}$ 付近から急激に摩耗するのが特徴である。

逃げ面摩耗での境界摩耗は見られなかった。

このことは使用したGFRPがガラス含有率65～70%であり、切削は切刃部での破碎により進行し、逃げ面摩耗は摩擦による摩耗ではなくガラス繊維による研削作用になっているためであると考えられる。

クレータ摩耗は両工具共にほとんど見られなかった。

切屑は粉状になって飛散し、切削音はサンドペーパーで金属を研削する時発生する音に似ている。

(2) 工具の摩耗状況

写真2・3にTiCN系セラミック工具と超硬

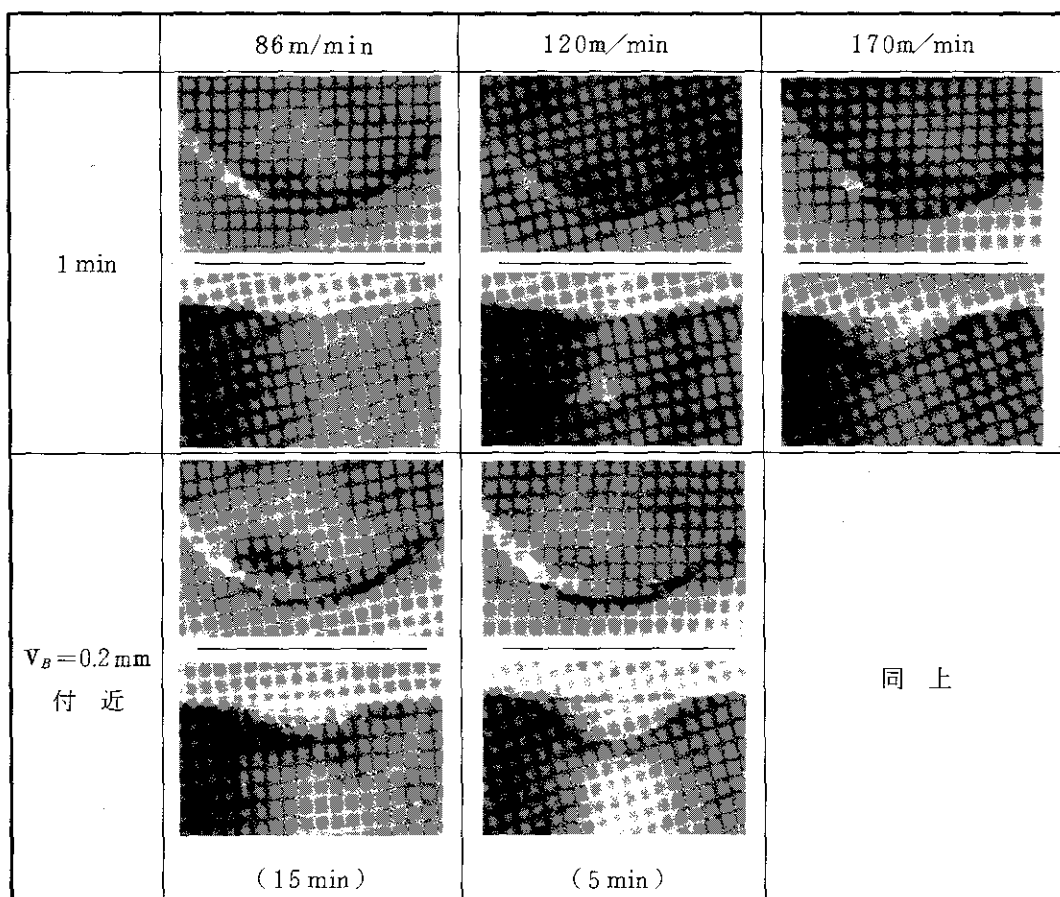


写真2 TiCN系セラミック工具の摩耗状況

(GFRP, $t = 0.5 \text{ mm}$, $f = 0.15 \text{ mm/rev}$, dry)

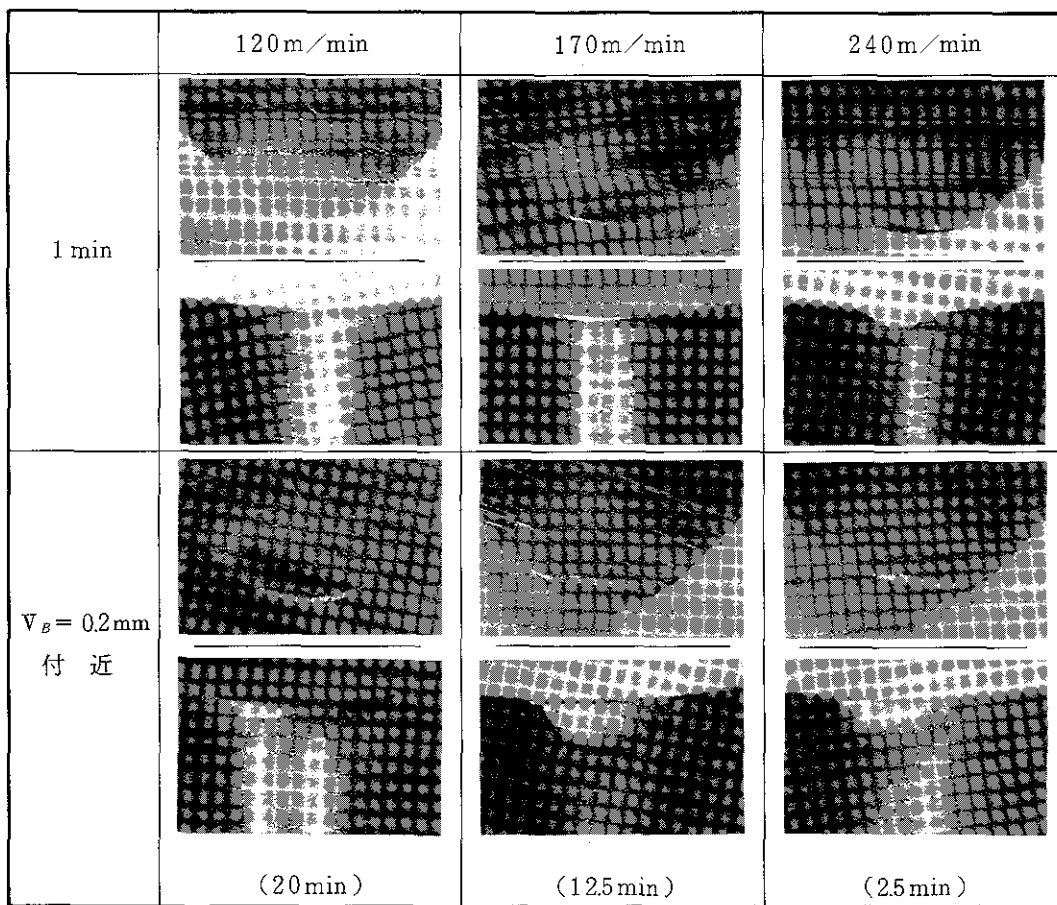


写真3 超硬合金工具K 10の摩耗状況

(GFRP, $t = 0.5 \text{ mm}$, $f = 0.15 \text{ mm/rev}$, dry)

合金工具K 10の1分切削時および $V_B = 0.2 \text{ mm}$ 付近の摩耗状況を示す。すくい面の切刃エッジ部が白く光っているのは切刃エッジが丸みをおび鈍化しているためである。

写真2に示すTiCN系セラミック工具の $V = 86 \text{ m/min}$ と、写真3に示す超硬合金K 10の $V = 120 \text{ m/min}$ においては小さなチッピングが発生し、この部分がすき取り摩耗となっている。高速になってもチッピングは起こっているが摩耗が激しいため摩耗面には現れてこないと考えられる。

両工具共に逃げ面の摩耗面は金属切削時に見

られる摩擦摩耗面ではなくて、梨地の摩耗面を呈しており、ガラス繊維による一種の研削作用が摩耗を進めているものと考えられる。

写真4にTiCN系セラミック工具の欠損状況を示す。逃げ面およびすくい面が大きく欠損しており、チッピングの付近から欠損していることがわかる。

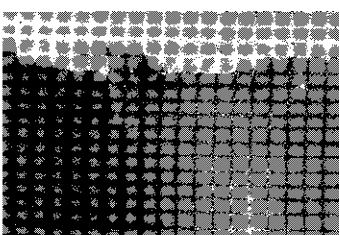
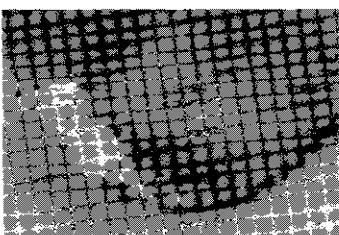


写真4 工具損傷状況
(TiCN系セラミック工具
 $V = 86 \text{ m/min}$, 5 min)

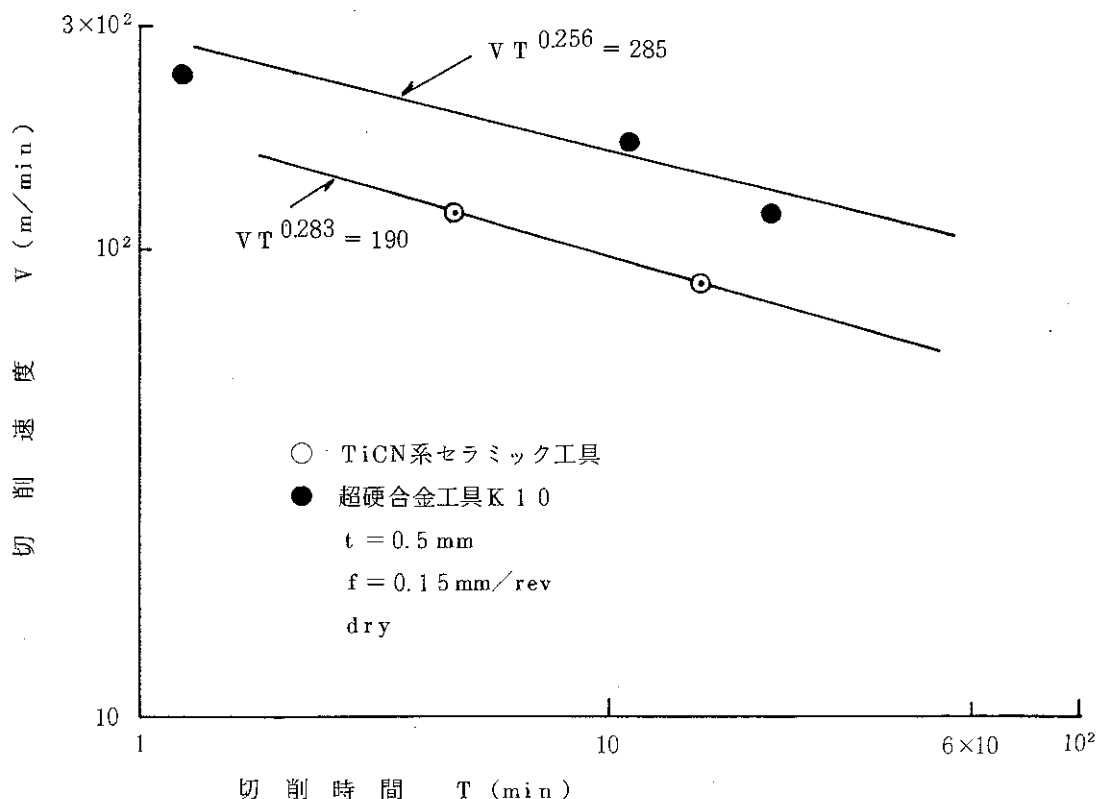


図3 GFRPの旋削における工具寿命曲線

(3) 工具寿命

図3に工具の寿命曲線を示す。

図においてTiCN系セラミックの場合, $V = 170 \text{ m/min}$ は工具摩耗が急激に進行し, 高速切削には不適当と考えられるので除外した。

工具寿命はTiCN系セラミックの場合に
 $VT^{0.282} = 190$, 超硬合金K10の場合に
 $VT^{0.256} = 285$ となる。

両工具を比較するとTiCN系セラミック工具は寿命が非常に短かく, GFRPの切削に不向きである。

4 おわりに

GFRPの切削条件を検討することを目的とし、新しく開発されたTiCN系セラミック工具と超硬合金工具K10を用いて工具寿命の比較実験を行い、次の結果を得た。

- (1) 工具摩耗はGFRP中のガラス繊維が一種の砥粒として逃げ面に作用し、このため工具寿命を短かくしていると考えられる。
- (2) 工具寿命はTiCN系セラミック工具の場合、 $VT = 0.282 = 190$ 、超硬合金工具K

10の場合 $VT^{0.256} = 285$ が得られた。

- (3) GFRPの切削ではTiCN系セラミック工具は摩耗しやすく欠損等を起こし、寿命が短かいので不適当である。

なお本研究で用いたTiCN系セラミック工具は、工業技術院九州工業試験所で開発されたものであって、実験を進めるにあたり同試験所の道津毅課長の指導をいただいた。

ここに付記し謝意を表する。